

가감속을 고려한 교착없는 AGV 주행경로설정

최이* · 박태진** · 류광렬***

*,**부산대학교 대학원, ***부산대학교 컴퓨터공학과 교수

Deadlock-free Routing of an AGV in Accelerated Motion

Ri Choe* · Taejin Park** · Kwang Ryel Ryu***

*,** Graduate school of Pusan National University, Busan 609-735, Korea

***Division of Computer Engineering, Pusan National University, Busan 606-735, Korea

요약 : 컨테이너 터미널과 같이 다수의 AGV(Automated Guided Vehicle)를 한정된 공간에서 동시에 운용하는 환경에서는 AGV의 작업생산성에 악영향을 주는 충돌, 데드락(deadlock), 라이브락(livelock)이 발생할 확률이 높다. 또한, AGV의 가/감속 운동은 AGV의 주행시간을 예측하기 어렵게 만들기 때문에 AGV 라우팅을 더욱 어렵게 만드는 요인이다. 본 연구에서는 AGV 사이의 충돌, 데드락, 라이브락을 방지하기 위해 점유영역 예약테이블(Occupancy Area Reservation table; OAR table)을 이용하는 방법과 최적주행경로를 선택하기 위해 가감속 운동을 고려하여 AGV의 주행시간을 추정하는 방법을 제안한다. 시간중심 시뮬레이션(time-driven simulation)을 통해 제안방안을 실험한 결과 제안방안의 효과를 확인하였다.

핵심용어 : AGV, 데드락, 주행경로설정, 가감속운동, 컨테이너터미널

ABSTRACT : In the environment where multiple AGVs(Automated Guided Vehicles) operate concurrently in limited space, collisions, deadlocks, and livelocks which have negative effect on the productivity of AGVs occur more frequently. The accelerated motion of an AGV is also the factor that make the AGV routing more difficult because the accelerated motion makes it difficult to estimate the vehicle's exact travel time. In this study, we propose methods of avoiding collisions, deadlocks, and livelocks using OAR(Occupancy Area Reservation) table, and selecting best route by estimating the travel time of an AGV in accelerated motion. A time-driven simulation validated the effectiveness of the proposed methods.

KEY WORDS : AGV, deadlock, routing, accelerated motion, container terminal

1. 서 론

자동화 컨테이너 터미널에서 사용하는 무인 자동화 장비로는 무인운반차량(AGV; automated guided vehicle), 무인운반크레인(ATC; automated transfer crane), 안벽크레인(QC; quay crane)이 있다. 컨테이너 터미널에서 선적작업을 위한 영역은 선박이 접안하는 안벽, 수출입 컨테이너를 임시로 쌓아두는 장치장 그리고 안벽과 장치장 사이의 에이프런 영역으로 구분된다. QC는 안벽에서, ATC는 장치장에서 컨테이너 운반을 위해 사용된다. 이때, AGV는 QC와 ATC 사이의 컨테이너 운반을

위해 사용되므로 터미널의 생산성을 향상시키기 위해서는 AGV가 효율적으로 작업해야한다.

AGV는 무인장비이므로 AGV를 운용하기 위해서는 주행경로설정(routing)이 필요하다. 주행경로설정이란 AGV가 목적지까지 주행할 수 있도록 AGV의 현재위치로부터 목적지까지의 이동경로를 선택하고 주행 중에 충돌, 데드락(deadlock), 라이브락(livelock) 등의 교통문제가 발생하지 않도록 주행 중 AGV의 동작을 제어하는 작업이다. 데드락이나 충돌은 AGV의 교통흐름을 마비시키고 차체나 컨테이너에 손상을 가할 수 있으므로 반드시 방지해야 한다. 또, 목적지까지 1)최소비용으로 컨테이너를 운반할 수 있으면 AGV의 작업효율을 향상시킬 수 있으므로

*대표저자 : 최이(정회원), choilee@pusan.ac.kr 051)510-3531

**정회원, tjpark@pusan.ac.kr 051)510-3531

***종신회원, krryu@pusan.ac.kr 051)510-2453

1) 목적지까지 주행하는 데 걸리는 시간, 소모한 연료 등이 있다.

로 AGV주행경로 설정에 대한 연구는 주로 충돌, 데드락 방지 및 최소비용경로 선택을 목적으로 한다.

기존 연구로는 AGV의 주행 공간을 존으로 나누고 AGV의 이동을 존 단위로 파악하여 AGV를 제어하는 존 제어 방식이 있다.(임, 2000; Evers et al, 1996; Kim et al, 1991; Rajeeva et al, 2003; Reveliotis, 2000; Yeh et al, 1998). 존 제어 방식은 AGV가 짐을 주고 받는 지점, 이동 경로 상의 교차로 등을 존으로 정의한 후, 주행공간을 존으로 나누고 존과 존 사이를 링크로 구성된 그래프로 재구성한다. AGV 주행 경로는 주로 AGV가 주행 중 지나는 존의 순서로 표현된다.

또 다른 연구로는 주행 경로를 유연하게 생성할 수 있고 주행 공간을 보다 효율적으로 활용함으로써 주행 효율을 높이기 위하여 AGV의 크기보다 작은 그리드 단위로 주행 공간을 나누고

AGV가 주행 중 점유하는 그리드 순서에 의해 주행경로를 표현하는 그리드 제어 방식이 있다.(이 등, 2003; Kim et al, 2004).

강 등(2005)은 그리드 제어방식에서 AGV회전 시 그리드의 점유순서가 AGV의 이동방향과 일치하지 않아 제어가 어려워지는 점을 개선하기 위하여 각 AGV마다 이동경로를 따라 주행공간을 점유영역으로 나누고 이를 이용하여 AGV의 주행을 제어하는 방안을 제안하였다.

본 논문에서는 강 등(2005)이 제안한 AGV의 이동경로를 따라 주행공간을 점유영역으로 분할하는 방안을 바탕으로 점유영역 예약테이블(Occupancy Area Reservation table; OAR table)을 이용하여 AGV사이의 충돌, 데드락, 라이브락을 방지하는 방안을 제안한다. 또한 목적지까지의 최단시간 주행경로를 선택하기 위해 가감속 운동 및 다른 AGV와의 간섭을 고려하여 AGV의 주행시간을 추정하는 방법을 제안한다. 제안방안은 충돌, 데드락, 라이브락이 발생하지 않음을 보장하며 적은 계산비용으로 AGV의 주행시간 추정이 가능하기 때문에 실시간 적용에 적합하다. 제안방안을 시뮬레이션 실험으로 검증한 결과 AGV의 작업 당 주행시간 감소를 확인하였다.

본 논문의 구성은 다음과 같다. 먼저 2장에서는 컨테이너 터미널에서의 AGV운영에 대해 설명한다. 3장에서는 AGV의 주행 경로를 설정하고 충돌, 데드락, 라이브락을 방지하는 방안을 소개한다. 4장에는 AGV의 가감속운동과 다른 AGV와의 간섭을 고려하여 주행시간을 추정하는 방안을 설명한다. 5장에는 제안 방안을 검증하기 위한 실험을 소개하고 그 결과를 분석한다. 마지막으로 6장에서 결론을 내리고 향후 연구에 대해 기술한다.

2. AGV 운영

Fig. 1은 본 논문에서 대상으로 한 자동화 컨테이너 터미널의 장치장 및 안벽영역을 나타낸 모식도이다. AGV는 ATC와 QC 사이에서 컨테이너를 운반하는 역할을 한다. 안벽에서의 컨테이너 이동은 QC아래에 위치한 TP(transfer point)에서 이루어지며 장치장 블록에서의 컨테이너이동은 장치장 블록의 해측 끝에 위치한 TP에서 이루어진다. AGV의 작업은 크게 적하컨테이너를 운반하는 경우와 양하컨테이너를 운반하는 경우로 나눌 수 있다. 양하컨테이너를 운반하는 경우, AGV는 양하컨테

이너를 내릴 QC로 주행한다. 이 때, 해당 QC가 현재 다른 작업을 하고 있는 경우 Fig 1.에서 실선사각형으로 표시된 대기영역에서 QC 현재 AGV가 적재할 컨테이너를 양하할 준비가 될 때 까지 대기한 후 QC밑으로 주행한다. QC가 컨테이너 적재를 완료 하면 컨테이너를 장치할 장치장 블록으로 이동한다. 장치장에 도착하면 ATC가 컨테이너를 AGV로부터 내리고 그 후, 다음 작업을 시작한다. 적하컨테이너의 경우 컨테이너가 장치된 블록으로 주행하여 컨테이너를 실은 후, 컨테이너를 배에 적하할 QC 밑으로 주행한다. 이 때, 양하와 마찬가지로 해당 QC가 현재 다른 작업을 하고 있는 경우 대기영역에서 현재 AGV가 적재 중인 컨테이너를 적하할 차례까지 대기한 후 QC밑으로 주행한다.

AGV는 장치장에서 안벽으로 주행을 하는 경우 블록 TP에서 출발하여 블록레인(block lane), 크로스레인(cross lane) 순으로 주행하며 오른쪽에서 왼쪽으로 QC레인(QC lane)을 주행하여 목적 QC밑으로 진입한다. 반대로 QC에서 블록으로 주행하는 경우 QC레인, 크로스레인, 블록레인 순으로 주행한다. 단 QC레인의 경우 QC마다 사용하는 QC레인이 지정되어있다. 따라서 AGV가 장치장에서 QC로 주행할 때 따라서 선택 가능한 경로의 수는 최대 블록레인 수 × 크로스레인 수와 같다.

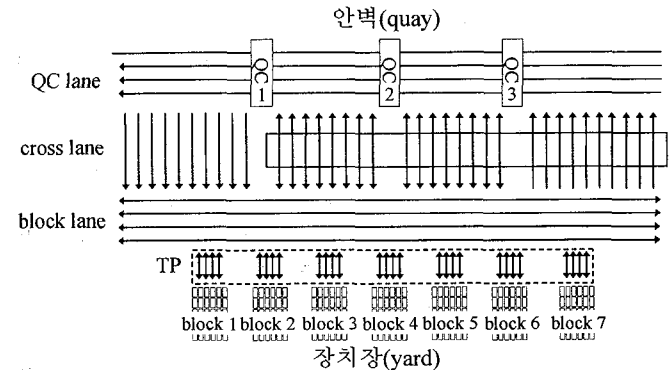


Fig. 1 An example of an automated container terminal

3. 주행경로 설정

AGV 주행경로 설정은 AGV의 현재위치로부터 목적지까지 따라서 주행할 주행경로를 생성하는 과정과 주행경로를 따라 AGV가 주행 할 때의 AGV의 동작을 제어함으로써 AGV사이의 충돌, 데드락, 라이브락을 미리 파악하고 이를 방지하는 과정으로 나누어진다.

3.1 주행경로 생성

AGV의 주행경로는 AGV의 현재 위치에서부터 목적지까지의 이동경로, 이동경로를 따라 주행할 때의 실제동선과 AGV가 주행하면서 지나가는 영역으로 정의할 수 있다. Fig. 2의 (a)와 같이 이동경로가 주어지면 AGV의 속도, 가속도, 차체의 길이 등

의 물리적 특성을 고려하여 Fig. 2의 (b)와 같이 AGV가 실제로 주행할 때의 동선을 계산할 수 있다. AGV 사이의 충돌은 AGV가 주행하는 영역을 일정하게 분할하고 하나의 영역은 한 대의 AGV만 점유할 수 있도록 하면 방지할 수 있는데, 본 논문에서는 이러한 영역을 점유영역(OA; Occupation Area)라 칭한다. AGV가 주행 중에 지나가는 영역은 점유영역의 순서로 나타낼 수 있다.

AGV는 주행할 때 앞으로 지나갈 점유영역을 미리 예약하며 주행하는데, 만약 점유영역을 예약하지 못하면 충돌을 회피하기 위해 예약할 수 있을 때까지 대기한다. 이 때 점유영역 예약의 허가여부를 결정함으로써 AGV의 주행을 제어할 수 있다. 점유영역의 면적이 클수록 AGV의 주행제어는 간단해지지만 불필요하게 예약하는 영역의 면적이 늘어나기 때문에 공간 활용 효율이 감소하게 된다. 따라서 본 연구에서는 공간 활용 효율을 높이기 위하여 Fig. 2 (c)와(d) 같이 AGV의 주행 중 동선을 따라 점유영역을 정의함으로써 불필요하게 예약하는 영역의 면적을 최소한으로 줄인다. 그러나 Fig. 3과 같이 점유영역이 각 주행경로마다 독립적으로 정의되거나 서로 다른 주행 경로에 속한 점유영역의 예약여부는 공유되지 않는다. 따라서 서로 다른 주행경로를 따라 주행하는 AGV 사이의 충돌은 AGV가 앞으로 진입할 단위영역을 예약할 때 해당 단위영역과 겹치는 다른 주행경로에 속한 단위영역들의 예약여부를 모두 확인한 후에 예약함으로써 방지한다. 예를 들어 Fig. 3의 주행 경로 r_1 를 따라 주행하는 AGV가 점유영역 a를 예약하기 위해서는 a의 예약여부 뿐만 아니라 주행경로 r_1 의 점유영역 b와 c의 예약여부도 확인해야 한다.

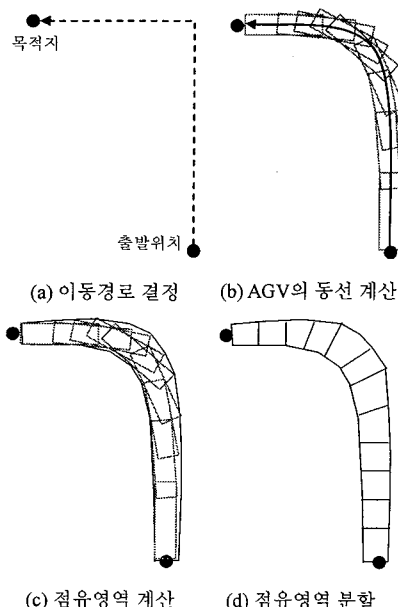


Fig. 2 An example of the procedures to create a route

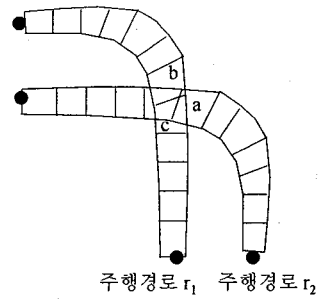


Fig. 3 An example of overlapping OAs which are belonged to different route

3.2 AGV 주행 제어

본 논문에서는 점유영역 예약 테이블(OAR table; Occupation Area Reservation table)을 이용하여 데드락과 라이브락을 해결한다. OAR테이블은 주행경로 상의 각 점유영역을 AGV가 예약한 시점부터 AGV가 점유영역을 완전히 이탈할 때까지의 점유기간을 기록한 테이블이다. AGV는 주행 중에 OAR테이블 상의 점유기간 동안에만 해당 점유영역을 예약할 수 있다. 다음은 새로 AGV 주행경로를 할당할 때, 현재 주행 중인 AGV와 데드락 또는 라이브락을 일으키지 않도록 OAR테이블을 작성하는 알고리즘이다. 설명의 편의를 위해 AGV는 1단위시간에 하나의 점유영역만큼 전진하며 AGV의 길이는 두 개의 점유영역의 길이와 같다고 가정한다. OAR(i)는 AGV가 점유영역의 i 를 점유하는 기간을 나타낸다. OAR_s(i)는 점유기간의 시작시점을 OAR_e(i)는 점유기간의 종료시점을 의미한다. UAR_s(i)는 점유영역의 i 의 점유불가능 기간의 시작시점이며 UAR_e(i)는 점유불가능 기간의 종료시점이다. canReserve_i(s, e)는 기간 (s, e)가 점유영역 i 의 점유불가능 기간과 겹치는지 리턴한다.

```

input    end: 주행경로 마지막 점유영역
output   OAR table
variables t: 현재시간 i: AGV가 현재 위치한 점유영역
algorithm start
t = 0 i = 0
while( i <= end )
    ++
    if( canReservei+1(t, t+2) )
        ++
        OAR(i) = (t, t+2)
    else
        OARe(i) = t+2
        while( !canReservei(OAR(i)) )
            i = i-1
            OARe(i) = t+2
        t = UARs(i)
return OAR

```

Fig. 4 deadlock free routing algorithm

제안알고리즘은 이용하여 작성한 OAR테이블에 따라 주행할 경우 반드시 목적지에 도착이 가능하다. 그런데 데드락이 발생한 경우 데드락에 빠진 AGV는 그 자리에서 움직이지 못하므로 목적지에 도달하지 못한다. 따라서 제안방안을 이용하여 설정한 주행경로는 데드락이 발생하지 않는다. 또한 AGV에 주행경로를 설정이 완료되면 해당 AGV는 그 이후에 주행경로를 설정 받은 AGV의 주행에 영향을 받지 않는다. 따라서 라이브락 현상이 발생하더라도 라이브락에 빠진 AGV는 최악의 경우에도 자신보다 먼저 주행경로를 설정 받은 모든 AGV가 주행을 마칠 때까지만 대기하게 된다.

4. 주행시간 추정 알고리즘

AGV의 주행경로를 설정할 때 목적지까지 최단시간경로를 선택하면 AGV의 주행시간을 줄일 수 있으므로 AGV의 작업효율을 향상시킬 수 있다. 그러나 AGV는 가감속 운동을 하기 때문에 같은 거리를 주행하더라도 AGV의 속도변화에 따라 주행시간이 달라진다. 또, 다른 AGV와의 충돌방지나 데드락 방지 등의 이유로 주행 중에 받는 간섭으로 인한 지연이 발생하기 때문에 AGV의 정확한 주행시간을 계산하기 위해서는 이 두 가지 요소를 동시에 고려해야한다.

4.1 가감속을 고려한 주행시간 추정

본 논문에서는 AGV가 등가속도 운동을 한다고 가정한다. 가속도의 법칙을 이용하여 초기속도 v_0 , 도달속도 v , 가속도 a 로 등 가속운동하는 AGV가 길이 d 인 주행경로를 주행하는데 걸리는 시간을 구하는 식을 유도한 결과는 다음과 같다. 만약 d 가 AGV의 초기속도 v_0 에서 도달속도 v 에 도달하기까지 필요한 가

속거리 $d_a = \frac{v^2 - v_0^2}{2a}$ 보다 큰 경우 주행시간 t 는

$$t = \frac{v - v_0}{a} + \frac{d}{v} - \frac{v}{2a} + \frac{v_0^2}{2av} \quad (1)$$

와 같다. 만약 d 가 d_a 보다 작으면 주행시간 t 는

$$t = -\frac{v_0}{a} + \sqrt{\frac{v_0^2}{a^2} + \frac{2d}{a}} \quad (2)$$

와 같다. 따라서 AGV의 출발점, 회전점 및 종료점 사이의 거리와 AGV의 회전거리를 알면 수식(1)과 (2)를 이용하여 AGV의 추정주행시간을 계산할 수 있다.

4.2 간섭을 고려한 주행시간 추정

3.2절에서 제안한 주행경로 설정방안에 따르면 새로 AGV에 주행경로를 설정할 때, 앞서 주행을 시작한 AGV와 충돌하거나 데드락에 빠지는 일을 방지하기 위해 새로 주행경로를 설정하는 AGV를 충돌 및 데드락 발생지점 직전 점유영역에서

기준 AGV²⁾가 완전히 지나갈 때까지 대기시킨다. 이와 같이 AGV는 주행 중에 다른 AGV에 의해 주행에 간섭을 받으며 그로인하여 AGV의 주행에 지연이 발생한다. 따라서 AGV의 주행시간을 보다 정확하게 추정하려면 이러한 간섭으로 인한 지연을 고려해야하며 본 논문에서는 다음과 같은 방안을 제안한다.

AGV a 에 대해 p_i 는 a 의 주행경로와 a 를 제외한 주행 중인 모든 AGV의 주행경로와 각각 교차하는 지점이라 하고, p_i 는 a 의 출발지점으로부터 주행경로를 따라 가까운 순으로 정렬되어있다 가정한다. 또한 $T(i, j)$ 는 a 의 주행경로 상의 두 점 i 와 j 사이의 주행시간이라 하고 $T_s(i)$, $T_e(i)$ 는 교차점 i 를 지나는 기준 AGV가 점 i 를 지나가기 시작한 시간과 완전히 지나간 시간을 나타낸다. 이 때 AGV의 주행시간을 추정하는 알고리즘은 다음과 같다.

```

input
P: 출발점부터 거리를 기준으로 오름차순 배열된 교차점
pi의 배열
output
tout: 주행시간 추정치
variables
t: AGV의 현재 위치까지 주행한 시간
i: AGV의 현재위치
algorithm start
t = 0
i = 0
for all pi ∈ P
    t = t + T(i, pi)
    i = pi
    if( Ts(pi) < t < Te(pi) )
        t = Te(pi)
tout = t

```

Fig. 5 AGV travel time estimation algorithm

본 알고리즘에서 $T_s(i)$, $T_e(i)$ 의 값은 AGV에 주행경로를 설정할 때 모의 주행시뮬레이션을 통해 주행경로상의 각 점유영역을 예약하기 시작하는 시간과 완전히 이탈하는 시간을 OAR 테이블에 기록하므로 교차점 i 를 포함하는 점유영역을 찾은 후 OAR테이블을 검색하여 얻을 수 있다.

5. 실험 및 결과

5.1 실험환경

제안방안의 효과를 검증하기 위한 시뮬레이션 실험을 위해 다음과 같은 환경을 설정하였다. Fig. 1과 같이 선석 하나 크기의 터미널을 가정하였으며 터미널에는 3대의 안벌크레인과 7

2) 이미 주행경로를 설정 받아 주행 중인 AGV를 말한다.

개의 장치장 블록이 있다. 안벽크레인과 장치장 크레인은 시간 당 컨테이너 50개를 처리할 수 있다고 가정하였다. Table 1은 AGV의 사양이다. AGV의 이동경로 레이아웃은 Fig. 1의 레이아웃을 따른다.

Table 1 AGV specification

직진속도	회전속도	가속	감속
4m/s	2m/s	0.64m/s ²	1.55m/s ²

5.2 실험결과

본 논문에서 제안한 주행시간 추정알고리즘이 AGV의 주행시간을 얼마나 정확하게 추정할 수 있는지 검증하기 위해 실제 주행시간과의 오차를 측정하였다. AGV사이의 간섭을 고려하는 것이 주행시간을 추정하는데 미치는 영향을 확인하기 위해 간섭을 고려하지 않고 AGV의 가감속 모델만 이용하여 주행시간을 추정한 경우와 정확성을 비교하였다. Table 2는 20000회의 주행경로를 대상으로 오차를 측정한 결과를 나타낸다. AGV사이의 간섭을 고려함으로써 주행시간 추정오차가 1.9% 감소하였음을 확인할 수 있다.

Table 2 Travel time estimation accuracy

	절대오차	상대오차	제곱오차
제안방안	84.6초	11.5%	126.7
간섭무시	99.0초	13.4%	152.4

주행시간 추정 알고리즘을 AGV의 주행경로 설정에 적용하였을 때의 주행시간 감소효과를 확인하기 위해 시뮬레이션 실험을 수행하였다. AGV의 수를 6대에서 24대까지 3대씩 변화시켜가며 각각 실험하였다. 매 실험마다 AGV는 24시간동안 양하작업을 수행하였으며 5회씩 반복하여 결과를 평균하였다. 세 가지 주행경로 설정방안에 대해 각각 시뮬레이션을 수행하고 결과를 비교하였다. 최단예측시간 방안은 제안방안을 이용하여 AGV사이의 간섭을 고려하여 주행시간을 추정하고 추정치가 가장 작은 이동경로를 선택한다. 비교방안인 최단거리방안은 가장 주행거리가 짧은 경로를 선택하며 랜덤방안은 무작위로 경로를 선택한다.

Fig. 6과 7은 AGV가 장치장 블록에서 안벽으로 주행할 때의 주행거리와 주행시간을 보여준다. 주행거리의 경우 최단예측시간 방안과 최단거리방안은 거의 차이를 보이지 않으며 랜덤방안과 주행거리를 비교하면 AGV가 6대일 때 가장 차이가 나며 AGV 수가 증가할수록 주행거리차가 감소한다. 주행시간의 경우 최단예측시간 방안이 가장 짧은 주행시간을 보였다. 최단거리방안과 비교하면 AGV수가 6대일 때 가장 감소폭이 작고 AGV수가 늘어남에 따라 감소폭이 커지며 AGV의 수가

15대 일 때 최대값인 6.6%의 감소폭을 보인다. 그 이상 AGV의 수가 늘어나면 다시 소폭 감소한다. 이와 같은 현상은 AGV의 수가 적을 때는 AGV사이의 간섭이 적기 때문에 간섭을 고려함으로써 얻는 이득이 적은 반면 AGV의 수가 늘어나면 AGV사이의 간섭이 증가하여 상대적으로 AGV사이의 간섭을 고려하는 최단예측시간 방안이 유리해지기 때문에 일어난다. 한편 AGV수가 18대 이상으로 늘어나게 되면 에이프린 영역에서 주행하는 AGV의 수가 증가하고 그로 인하여 AGV가 선택할 수 있는 선택할 수 있는 이동경로의 개수수가 적어지기 때문에 간섭을 고려하는 효과가 감소한다.

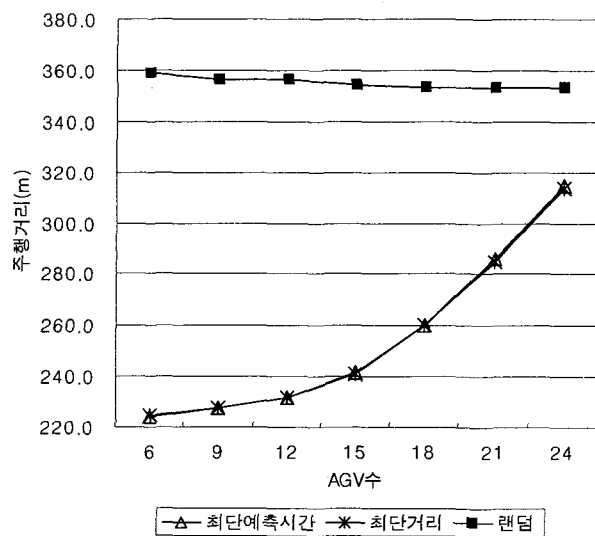


Fig. 6 Average travel distance of an AGV travels from a block to a QC

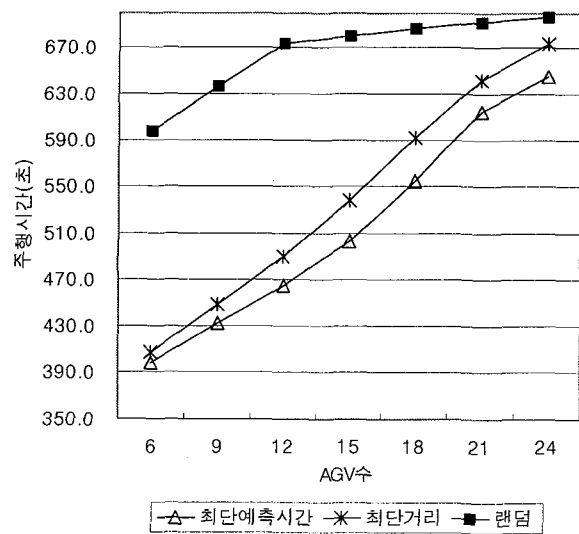


Fig. 7 Average travel time of an AGV travels from a block to a QC

Fig.8와 9는 AGV가 안벽에서 장치장 블록으로 주행할 때의 평균 주행거리와 주행시간이다. 장치장에서 안벽으로 주행할 때에는 달리 최단예측시간 방안과 최단거리방안이 거의 동일한 주행시간을 보였다. 안벽에서 블록으로 주행하는 경우 안벽크레인의 작업 사이클 타임 때문에 한 번에 주행할 수 있는 AGV는 안벽크레인의 수와 같은 3대이다. 따라서 블록에서 안벽으로 주행할 때에는 안벽크레인 밑으로 진입할 때 병목현상이 일어나 AGV사이의 간섭의 영향이 커지는데 비해 간섭의 영향이 거의 없다.

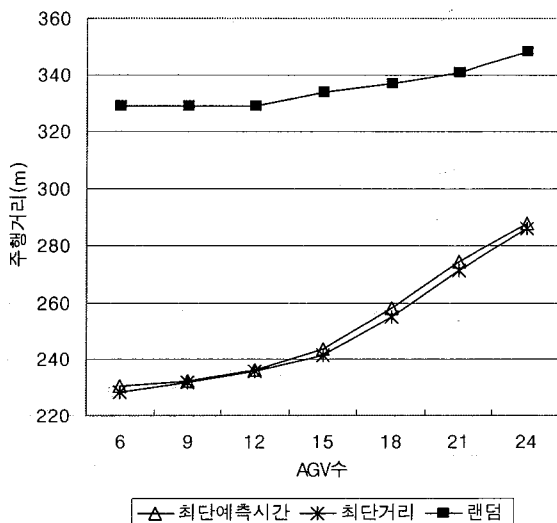


Fig. 8 Average travel distance of an AGV travels from a QC to a Block

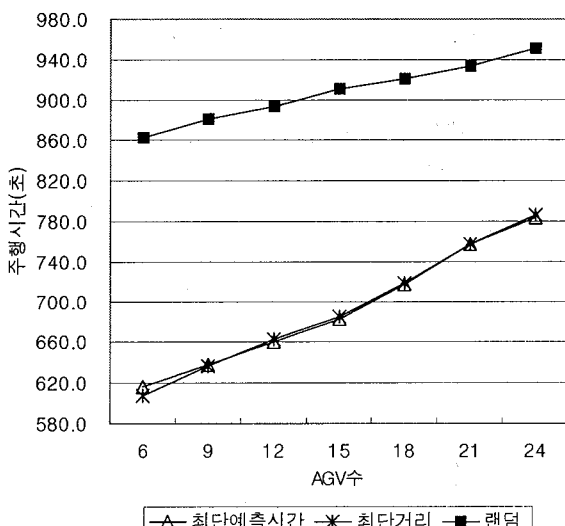


Fig. 9 Average travel time of an AGV travels from a QC to a Block

6. 결론

본 논문에서는 AGV 시스템의 작업효율을 개선하기 위하여 대드락이 발생하지 않도록 AGV의 주행경로를 설정하는 방안과

AGV의 가감속 및 다른 AGV의 주행에 의한 간섭을 고려하여 적은 계산비용으로 AGV의 주행시간을 추정하는 방안을 제안하였다. 제안방안을 이용하면 목적지까지 도달하는 보다 빠른 경로를 선택할 수 있으며, 시뮬레이션 실험을 통해 실제로 AGV의 작업 당 평균주행시간이 감소함을 확인하였다.

향후, 제안한 주행시간추정알고리즘을 주행경로 선택뿐만 아니라 AGV의 컨테이너 운반계획을 수립할 때, 운반계획대로 작업을 진행하였을 때 전체 작업완료에 걸리는 시간을 추정하는데 적용하는 방안에 대한 연구가 필요하다.

후기

본 논문은 교육인적자원부 지방연구중심대학육성사업(차세대 물류IT기술연구사업단)의 지원에 의하여 연구되었습니다.

참고문헌

- [1] 강재호, 최이, 강병호, 류광렬, 김갑환(2005), 자동화 컨테이너 터미널에서의 AGV 충돌 방지 및 교착 해결 방안, 한국지능정보시스템학회지 11권 5호, pp. 25~43
- [2] 이용환, 박은경, 박태진, 류광렬, 김갑환 (2003), 그리드 단위의 제어에 기반한 자동화 컨테이너 터미널의 AGV 운영 방안, 한국항해항만학회지 27권 2호, pp. 223-231.
- [3] 임동순 (2000), 존 조정 하에서의 AGV 교착 방지, 대한 선업 공학회지, 26권, 4호, pp. 392-401.
- [4] Evers, J. J. M and Koppers, S. A. J. (1996), Automated guided vehicle traffic control at a container terminal, Transportation Research-A 30, pp. 2134
- [5] Kim, C. W. and Tanchoco(1991), J. M. A, Conflict-free shortest-time bidirectional AGV routing, International Journal of Production Research, 29(12), pp. 2377-2391
- [6] Kim, K. H., Jeon, S. M., and Ryu, K. R. (2004), A deadlock detection method for automated guided vehicles in port container terminals, Proceedings of the 33rd international conference on computers and industrial engineering.
- [7] Rajeeva, L. M., Wee, H.-G., Ng, W.-C., and Teo, C.-P., (2003), Cyclic deadlock prediction and avoidance for zone-controlled AGV system, International Journal of Production Economics 83, pp. 309-324.
- [8] Reveliotis, S. A. (2000), Conflict resolution in AGV Systems, IEEE Transactions, Vol. 32, pp. 647-659.
- [9] Yeh, M. S. and Yeh, W. C. (1998), Deadlock Prediction and Avoidance for Zone-control AGVs, International Journal of Production Research, Vol. 36, No. 10, pp. 2879-2889